

## УРАВНЕНИЯ С ЧАСТНЫМИ ПРОИЗВОДНЫМИ

УДК 517.95

Ф. В. БУШКИН, В. А. ГАЛАКТИОНОВ, Н. А. КИРИЧЕНКО,  
С. П. КУРДИУМОВ, А. А. САМАРСКИЙ

## ОБ ОДНОЙ НЕЛИНЕЙНОЙ ЗАДАЧЕ ЛАЗЕРНОЙ ТЕРМОХИМИИ. II

В настоящей работе продолжается начатое в [1] исследование нелинейной краевой задачи для параболического уравнения в неограниченной области

$$\frac{\partial T}{\partial t} = \Delta T \equiv \frac{1}{r} \frac{\partial}{\partial r} \left( r \frac{\partial T}{\partial r} \right) + \frac{\partial^2 T}{\partial z^2}, \quad t > 0, \quad r \geq 0, \quad z > 0, \quad (1)$$

$$-\frac{\partial T}{\partial z} \Big|_{z=0} = I_0 \Theta \left( \frac{r}{r_0} \right) + \exp \left( -\frac{1}{T} \right), \quad t > 0, \quad r \geq 0, \quad (2)$$

$$T(0, r, z) = T_0(r, z) \geq 0, \quad r \geq 0, \quad z > 0. \quad (3)$$

В [1], где содержится постановка этой задачи, возникающей в лазерной термохимии, рассмотрена соответствующая стационарная (эллиптическая) задача и доказано существование такой функции  $h = h(s) > 0$ ,  $s > 0$ , что при всех\*)  $I_0 < h(r_0)$  стационарное решение существует, а при  $I_0 > h(r_0)$  оно отсутствует. В [1] также установлена устойчивость минимального стационарного решения снизу.

В данной работе в § 4 изучается задача (1)–(3) при  $T_0 \equiv 0$  в случае  $I_0 > h(r_0)$ , когда стационарных решений нет. В заключительном § 5 качественным методом нестационарного осреднения проводится анализ устойчивости всех возможных стационарных решений.

## § 4. О НЕСТАЦИОНАРНЫХ РЕШЕНИЯХ В ОТСУТСТВИИ СТАЦИОНАРНЫХ СОСТОЯНИЙ

В этом параграфе рассматривается случай  $I_0 > h(r_0)$ , когда, как установлено в [1, § 2], стационарная задача неразрешима. Естественно, это в корне меняет все свойства решения нестационарной задачи (1)–(3) при

$$T_0(r, z) \equiv 0, \quad (r, z) \in \Omega = \{r \geq 0, z > 0\}$$

(всюду в § 4 это условие считается выполненным). Прежде всего здесь без труда доказывается

**Лемма 7.** Пусть  $I_0 > h(r_0)$ . Тогда  $T(t, r, z) \rightarrow +\infty$ ,  $t \rightarrow +\infty$  всюду в  $\Omega$ .

Напомним (лемма 5 в [1]), что решение задачи (1)–(3) является критическим, т. е.  $T_t \geq 0$  при всех  $t > 0$ ,  $(r, z) \in \Omega$ .

Ниже получены оценки сверху и «снизу» эволюции нестационарного процесса на оси  $r = 0$ .

\*) Здесь  $I_0 > 0$  и  $r_0 > 0$  играют соответственно роль интенсивности и ширины пучка лазерного излучения с пространственным распределением, определяемым функцией  $\theta = \theta(\xi) > 0$ ,  $\xi \geq 0$ .

Теорема 7. Справедлива оценка

$$T(t, 0, z) \leq [I_0 + 1] t^{1/2} g\left(\frac{z}{t^{1/2}}\right), \quad z > 0, \quad (4.1)$$

где  $g(\eta) > 0$  — вырожденная гипергеометрическая функция, удовлетворяющая задаче

$$g'' + \frac{1}{2} g' \eta - \frac{1}{2} g = 0, \quad \eta > 0; \quad g(0) = 1, \quad g(+\infty) = 0.$$

Доказательство. Из (2) следует, что  $-\partial T / \partial z|_{z=0} < I_0 + 1$ , поэтому функция  $v(t, z)$ , удовлетворяющая задаче

$$v_t = v_{zz}, \quad t > 0, \quad z > 0, \quad (4.2)$$

$$-\frac{\partial v}{\partial z} \Big|_{z=0} = I_0 + 1, \quad z > 0; \quad v(0, z) = 0, \quad z > 0,$$

является верхним решением исходной задачи. В то же время  $v(t, z)$  в точности совпадает с выражением (автомодельным решением задачи (4.2)), стоящим в правой части (4.1).

Для определения характера пространственного профиля тепловой волны в зависимости от величины ее амплитуды в центре  $r=0, z=0$  воспользуемся методом, основанным на анализе семейства стационарных решений (см. [2, 3]).

Теорема 8. Пусть  $I_0 > h(r_0)$ . Тогда \*)

$$T(t, 0, z) > \left\{ T(t, 0, 0) - \left[ I_0 + \exp\left(-\frac{1}{T(t, 0, 0)}\right) \right] z \right\}^+, \quad t > 0. \quad (4.3)$$

Доказательство. Нетрудно видеть, что семейство стационарных решений уравнения (1)

$$U(z) = U_m \left\{ 1 - \frac{z}{z_m} \right\}^+, \quad z > 0, \quad (4.4)$$

где  $z_m = U_m [I_0 + \exp(-1/U_m)]^{-1}$  и  $U_m > 0$  — параметр семейства (его максимальное значение  $U(0) = U_m$ ), является в то же время семейством верхних решений задачи (1)–(3) в любой полосе  $\{r > 0, 0 < z < z_m^* < z_m\}$  для всех  $t > 0$ , таких, что  $T(t, 0, z_m^*) \leq U(z_m^*)$ . Это прямо следует из того, что  $U(z)$  является решением задачи

$$\Delta U(z) = 0, \quad r > 0, \quad 0 < z < z_m,$$

$$-\frac{\partial U}{\partial z} \Big|_{z=0} = I_0 + \exp\left(-\frac{1}{U(0)}\right) \geq I(r) + \exp\left(-\frac{1}{U(0)}\right), \quad r > 0,$$

$$U(0) = U_m; \quad I(r) = I_0 \Theta\left(\frac{r}{r_0}\right).$$

Таким образом,  $T(t, r, z) \leq U(z)$  при всех  $r > 0, 0 < z < z_m^*$  до тех пор, пока  $T(t, 0, z_m^*)$  не превзойдет  $U(z_m^*) > 0$ . Фиксируем произвольные  $U_m > 0$  и  $0 < z_m^* < z_m$ . Тогда из принципа максимума в силу произвольности  $z_m^*$  следует, что амплитуда нестационарного решения  $T(t, 0, 0)$ , которая, как показано в лемме 7, неограниченно возрастает при  $t \rightarrow +\infty$ , не может превзойти величины  $U_m = U(0)$  до тех пор, пока  $T(t, 0, z)$  не станет больше  $U(z)$  при всех  $z > 0$ . Отсюда для любого  $U_m > 0$  найдется такое  $t_m > 0$ , что  $T(t_m, 0, z) > U(z)$  при всех  $z > 0$  и при этом  $T(t_m, 0, 0) = U_m$ , что с учетом конкретного вида функций  $U(z)$  в (4.4) дает оценку (4.3).

З а м е ч а н и е. Неравенство (4.3) позволяет оценить закон движения эффективной глубины проникновения тепловой волны  $z_{\text{эф}}(t)$  вдоль

\*) Здесь введено обозначение  $\{s\}^+ = s$ , если  $s > 0$ , и  $\{s\}^+ = 0$ , если  $s \leq 0$ .

оси  $r=0$ , определяемой в каждый момент времени как полуширина пространственного профиля из равенства  $T(t, 0, z_{\text{эф}}(t)) = (1/2) T(t, 0, 0)$ . В силу монотонности  $T$  по  $z$  (см. лемму 5 в [1]) функция  $z_{\text{эф}}(t)$  определяется однозначно. Из (4.3) вытекает такая оценка:

$$z_{\text{эф}}(t) > \frac{1}{2} T(t, 0, 0) \left[ I_0 + \exp \left( - \frac{1}{T(t, 0, 0)} \right) \right]^{-1}, \quad t > 0.$$

В частности,  $z_{\text{эф}}(t) \geq \frac{1}{2[I_0+1]} T(t, 0, 0)$  при всех достаточно больших  $t$ . Если исходить из того, что  $T(t, 0, 0) \simeq O(t^{1/2})$  (это предположение в силу теоремы 7 является довольно естественным), то эта оценка принимает вид  $z_{\text{эф}}(t) \simeq O(t^{1/2})$ .

## § 5. ОБ УСТОЙЧИВОСТИ СТАЦИОНАРНЫХ СОСТОЯНИЙ

Задача (1) — (3) может иметь неединственное стационарное состояние: в некоторых случаях их два, в других — четыре (см. [1, 2]). В связи с этим возникает важный вопрос исследования устойчивости стационарных решений. Исчерпывающее строгое исследование здесь провести не удастся, поэтому ниже в указанных целях применяется качественная теория нестационарного осреднения, предложенная и реализованная в [4, 5] для анализа существенно нестационарных процессов (режимов с обострением) и эффекта локализации тепла в сплошных средах с нелинейной теплопроводностью и объемным энерговыделением. Идея нестационарного осреднения состоит в «замене» уравнения с частными производными (+ краевое условие) на систему двух обыкновенных дифференциальных уравнений, описывающих эволюцию со временем образующейся тепловой структуры, которая характеризуется двумя параметрами — амплитудой (максимальной температурой в центре  $r=z=0$ ) и шириной, одинаковой в силу особенностей диффузии тепла по координатам  $r$  и  $z$ .

Следуя [4, 5], будем искать «приближенное» решение задачи (1) — (3) в виде

$$T_m(t, r, z) = \psi(t) f(\xi, \eta), \quad \xi = \frac{r}{\varphi(t)}, \quad \eta = \frac{z}{\varphi(t)}, \quad (5.1)$$

где  $\psi(t)$  и  $\varphi(t)$  — неизвестные амплитуда и полуширина тепловой структуры, а  $f(\xi, \eta) \geq 0$ ,  $f(0, 0) = 1$  — фиксированная специальным образом подобранная функция. Будем считать, что ее носитель  $\omega_* = \text{supp} f$  с одной стороны ограничен плоскостью  $\partial\Omega$ , а с другой — границей  $\partial\omega_*$ , образованной гладкой кривой  $z = P(r)$ , где функция  $P$  — четная,  $P' < 0$ ,  $P(0) = 1$  и  $P(+\infty) = 0$ . Введем обозначение:  $\omega_t = \{(r, z) \in \Omega \mid (r/\varphi(t), z/\varphi(t)) \in \omega_*\}$ . Обозначим через  $\partial/\partial n_*$  и  $\partial/\partial n_t$  производные по направлению внешней нормали  $n_*$  и  $n_t$  к границам  $\partial\omega_*$  и  $\partial\omega_t$  соответственно. Другие требования на функцию  $f$  будут сформулированы в дальнейшем.

Прежде чем переходить к конкретной реализации метода осреднения, отметим, что его можно рассматривать как один из способов радиально-сферического расслоения пространства решений нестационарной задачи. В настоящее время хорошо известен метод сферического расслоения банахова пространства [6, 7], который в ряде случаев позволяет дать исчерпывающее описание условий разрешимости потенциальных нелинейных эллиптических задач в ограниченных областях. Исследование таких задач сводится к минимизации (отысканию критических точек) функционала  $\Phi = \Phi(u)$ , отвечающего данной задаче, т. е. таких  $u$ , для которых  $\Phi'_u(u) = 0$ . В соответствии с методом критические точки ищутся в виде  $u = r(v)v$ , где  $r \in R^1$  — скалярный параметр (функционал), а  $v$  — элемент единичной сферы исходного банахова пространства. Величина  $r = r(v)$  как бы определяет «радиус» решения в банаховом пространстве.

В [6, 7] при весьма широких предположениях показано, что задача может быть «эквивалентна» системе двух уравнений:  $\Phi'_r(rv) = 0$  и

$\Phi'_v(rv) = 0$ , причем реализуемость сферического расслоения определяется первым скалярным уравнением относительно  $r = r(v)$ . Анализ системы в ряде случаев провести значительно проще, чем одного исходного уравнения  $\Phi'_u(u) = 0$ . При этом оказывается, что уравнение  $\Phi'_v(rv) = 0$ , как правило, правильно описывает число и характер ветвления «нетрипательных» решений. Это, например, справедливо для полулинейных эллиптических задач второго порядка, о чем говорит сравнение с результатами, помещенными в обзоре [8]. Следует подчеркнуть, что метод сферического расслоения позволяет систематизировать и с других позиций обосновать огромное многообразие результатов исследования нелинейных эллиптических задач.

В случае неограниченной области следует, вообще говоря, проводить более общее радиально-сферическое расслоение, т. е. искать решение в виде  $u = rv_1 \left( \frac{x}{p} \right)$ , где  $r = r(v)$ ,  $p = p(v)$  — функционалы, играющие роль «амплитуды» и «ширины» решения. Последнюю необходимо ввести именно из-за неограниченности области, что дает дополнительную «степень свободы». Если теперь предположить, что задача нестационарна и  $r = r(v, t)$ ,  $p = p(v, t)$ , то мы приходим к представлению (5.1). Скалярные уравнения для функционалов  $r, p$  (в данном случае это обыкновенные дифференциальные уравнения для  $\psi(t)$  и  $\varphi(t)$ ) будут ниже получены из некоторых качественных соображений.

Естественно,  $T_m$  не может удовлетворять (1) — (3) в строгом смысле, в противном случае  $T_m$  была бы автомодельным решением задачи, которого не существует. Вместо этого потребуем, чтобы (5.1) удовлетворяла следующим двум интегральным равенствам («законам сохранения»):

$$\int_{\Omega} \left( \frac{\partial T}{\partial t} - \Delta T \right) dx = 0, \quad \int_{\Omega} \left( \frac{\partial T}{\partial t} - \Delta T \right) r dx = 0, \quad t > 0.$$

После интегрирования по частям с учетом некоторых естественных ограничений на функцию  $f$  эти равенства приводятся к виду

$$\begin{aligned} \frac{d}{dt} \int_{\omega_t} T_m dx &= \int_{\partial\omega_t} \frac{\partial T_m}{\partial n_t} dS_t \equiv \int_{\partial\Omega} \left( -\frac{\partial T}{\partial z} \right) dS_t + \int_{\partial\omega_t \setminus \partial\Omega} \frac{\partial T_m}{\partial n_t} dS_t, \\ \frac{d}{dt} \int_{\omega_t} r T_m dx &= \int_{\partial\omega_t} \left[ r \frac{\partial T_m}{\partial n_t} - T_m \frac{\partial r}{\partial n_t} \right] dS_t \equiv \\ &\equiv \int_{\partial\Omega} r \left( -\frac{\partial T}{\partial z} \right) dS_t + \int_{\partial\omega_t \setminus \partial\Omega} \left( r \frac{\partial T_m}{\partial n_t} - T_m \frac{\partial r}{\partial n_t} \right) dS_t. \end{aligned} \quad (5.2)$$

Наконец, подставляя в выражение (5.2) функцию  $T_m$  из (5.1) и учитывая при этом красное условие (2), приходим к системе обыкновенных дифференциальных уравнений относительно функций  $\psi, \varphi$ :

$$\frac{d}{dt} (\psi\varphi^3) = M_1 + \mu_1\varphi^2 F(\psi) - \delta\psi\varphi, \quad (5.3)$$

$$\frac{d}{dt} (\psi\varphi^4) = M_2 + \mu_2\varphi^3 G(\psi) - \kappa\psi\varphi^2, \quad t > 0, \quad (5.4)$$

где  $M_1, M_2, \mu_1, \mu_2, \delta, \kappa$  — параметры, определяемые по формулам

$$\begin{aligned} M_1 &= I_0 r_0^2 \frac{2\pi}{v_1} \int_0^\infty \Theta(\xi) \xi d\xi, \quad v_1 = \int_{\Omega} |j d\xi d\eta|, \\ M_2 &= I_0 r_0^3 \frac{2\pi}{v_2} \int_0^\infty \Theta(\xi) \xi^2 d\xi, \quad v_2 = \int_{\Omega} |f \xi d\xi d\eta|, \end{aligned}$$

$$\mu_1 = \frac{2\pi}{\nu_1}, \quad \mu_2 = \frac{2\pi}{\nu_2},$$

$$\delta = - \int_{\partial\omega_* \setminus \partial\Omega} \frac{\partial f}{\partial n_*} dS_* > 0, \quad \kappa = \int_{\partial\omega_* \setminus \partial\Omega} \left[ f \frac{\partial \xi}{\partial n_*} - \xi \frac{\partial f}{\partial n_*} \right] dS_* > 0,$$

а  $F$  и  $G$  — следующие функции:

$$F(\psi) = \int_0^\infty \xi \exp\left(-\frac{1}{\psi f(\xi, 0)}\right) d\xi, \quad G(\psi) = \int_0^\infty \xi^2 \exp\left(-\frac{1}{\psi f(\xi, 0)}\right) d\xi.$$

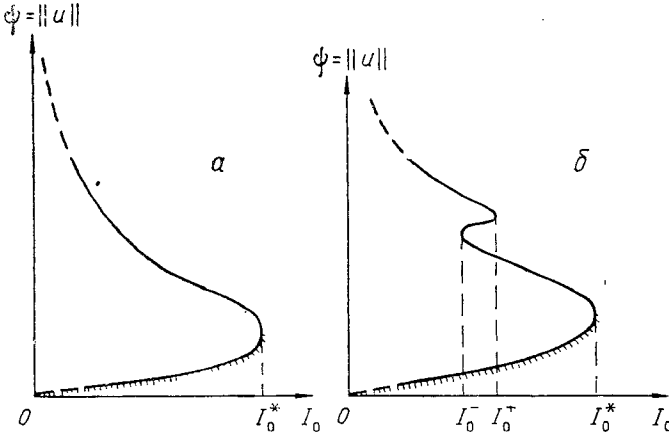


Рис. 1. График ветвления решений стационарной задачи в зависимости от  $I_0$

В дальнейшем мы полагаем

$$F(\psi) = \frac{1}{2} \exp\left(-\frac{1}{\psi}\right), \quad G(\psi) = \frac{1}{3} \exp\left(-\frac{1}{\psi}\right),$$

что действительно имеет место, если  $f(\xi, 0)$  — элементарная «ступенчатая» функция:  $f(\xi, 0) = 1$  при  $0 < \xi < 1$  и  $f(\xi, 0) = 0$  при  $\xi \geq 1$ .

Отметим, что требования  $\delta > 0$ ,  $\kappa > 0$  являются существенными, при их нарушении система (5.3), (5.4) не может иметь никаких стационарных состояний. С физической точки зрения последние члены в (5.3), (5.4) моделируют отток тепла на «бесконечность».

От системы (5.3), (5.4) легко перейти к одному уравнению:

$$\frac{d\psi}{d\varphi} = \frac{\psi}{\varphi} \left[ \frac{4M_1\varphi - 3M_2 + \gamma_1\varphi^3 \times \dots}{M_2 - M_1\varphi - \gamma_2\varphi^3 \times \dots} \rightarrow \dots \right. \\ \left. \dots \rightarrow \frac{\times \exp\left(-\frac{1}{\psi}\right) - \alpha_1\psi\varphi^2}{\times \exp\left(-\frac{1}{\psi}\right) + \alpha_2\psi\varphi^2} \right], \quad (5.5)$$

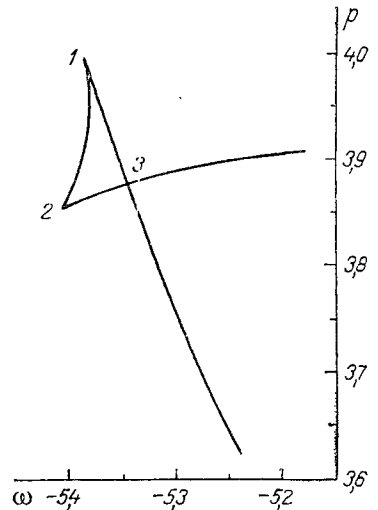


Рис. 2. График бифуркационного множества стационарной краевой задачи (в координатах  $(p, \omega)$ ) [9]

где  $\gamma_1 = 2\mu_1 - \mu_2 > 0$ ,  $\gamma_2 = \mu_1/2 - \mu_2/3 > 0$ ,  $\alpha_1 = 4\delta - 3\kappa > 0$ ,  $\alpha_2 = \delta - \kappa > 0$ .  
Из последних неравенств следует, что

$$\mu_1 > \frac{2}{3} \mu_2, \quad \kappa < \frac{4}{3} \delta. \quad (5.6)$$

Кроме того, мы потребуем, чтобы  $\gamma_1 \alpha_2 > \alpha_1 \gamma_2$ , т. е.  $\mu_1 \kappa < \frac{2}{3} \mu_2 \delta$ . Необходимость этих ограничений вытекает из естественных физических требо-

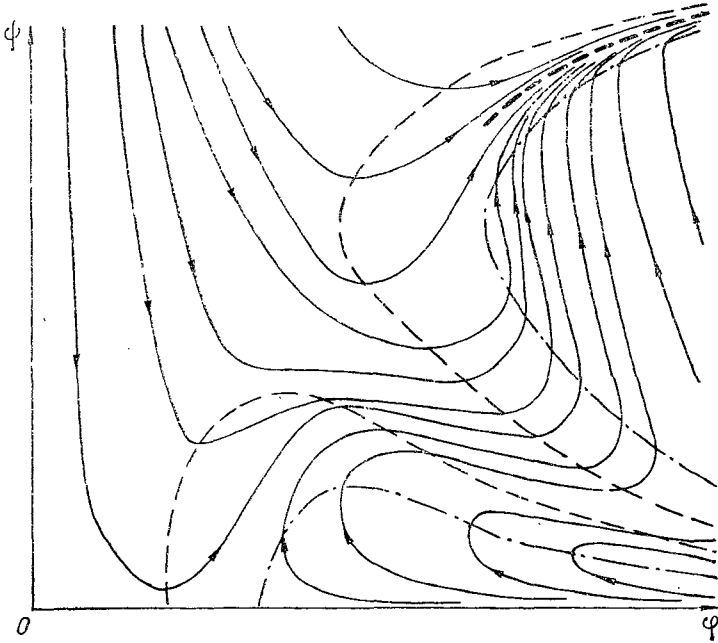


Рис. 3. Отсутствие стационарных состояний

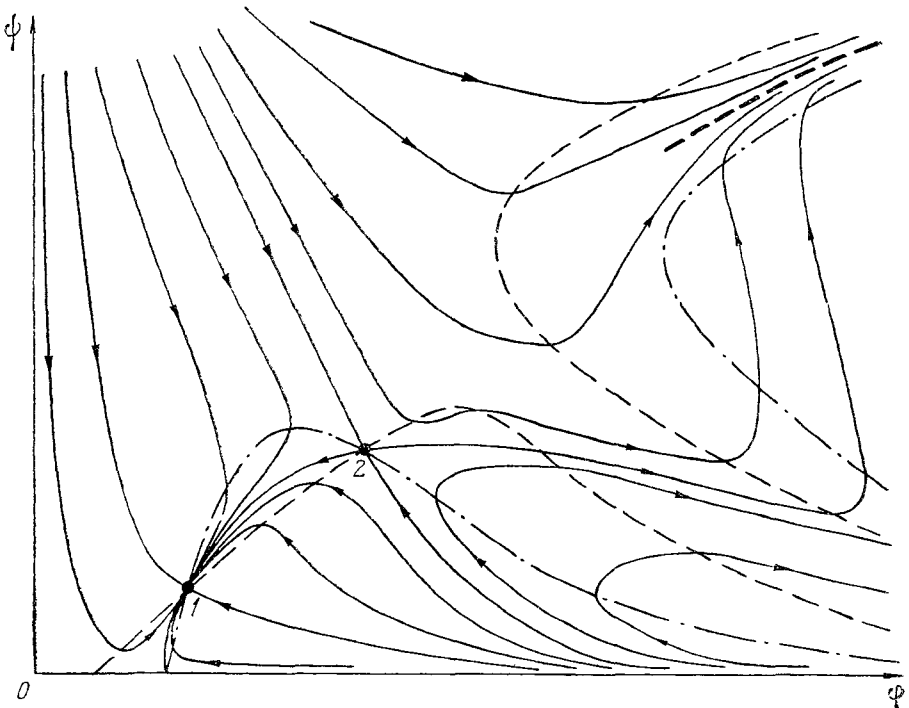


Рис. 4. Два стационарных состояния: 1 — устойчивое, 2 — неустойчивое

ваний к структуре фазовой картины уравнения (5.5). Отметим, что при выполнении (5.6)  $\gamma_1 - 4\gamma_2 > 0$ ,  $4\alpha_2 - \alpha_1 < 0$ .

Каждой точке пересечения изоклин «нуля» и «бесконечности» уравнения (5.5) отвечает некоторое стационарное состояние. Таким образом, система уравнений

$$4M_1\psi - 3M_2 + \gamma_1\varphi^3 \exp\left(-\frac{1}{\psi}\right) - \alpha_1\psi\varphi^2 = 0, \quad (5.7)$$

$$M_2 - M_1\psi - \gamma_2\varphi^3 \exp\left(-\frac{1}{\psi}\right) + \alpha_2\psi\varphi^2 = 0 \quad (5.8)$$

( $\psi$ ,  $\varphi$  — постоянные, не зависящие от времени) определяет число и основные свойства стационарных решений  $u = u(r, z)$  задачи (1) — (3) (см. § 2 в [1]). Как показывает анализ системы (5.7), (5.8), при различных значениях параметров  $M_1 \sim I_0 r_0^2$  и  $M_2 \sim I_0 r_0^3$  их может быть либо четыре, либо два, либо ни одного\*), что согласуется с [1] и результатами [9], где проводилось другое «осреднение» стационарного уравнения. На рис. 1 указана примерная картина ветвления решений стационарной задачи в зависимости от параметра  $I_0$  ( $r_0$  при этом считается фиксированной). Штриховой линией обозначено предполагаемое поведение ветвей при малых  $I_0 > 0$ . Отметим, что такое поведение нижней ветви имеет место в силу теоремы 1 в [1]. В обоих случаях существует точка бифуркации  $I_0 = I_0^*$ , такая, что при  $I_0 > I_0^*$  стационарных состояний не существует, что совпадает с результатами § 2 (в введенных там обозначениях  $I_0^* = h(r_0)$ ). При всех  $I_0 < I_0^*$  в зависимости от величины второго парамет-

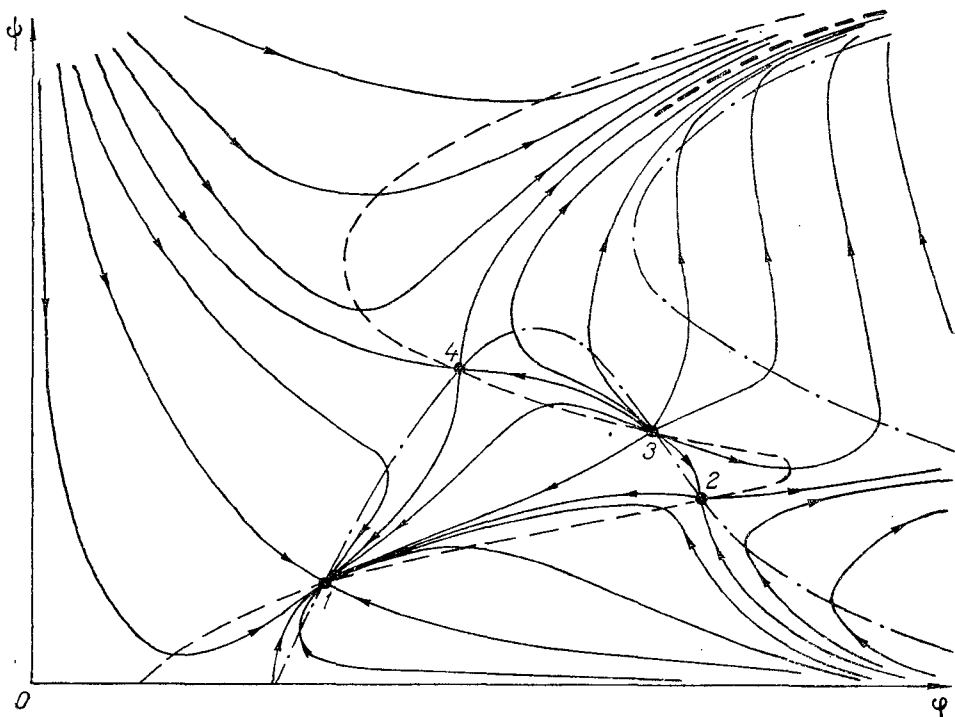


Рис. 5. Четыре стационарных состояния: 1 — устойчивое, 2, 3, 4 — неустойчивые

\*) Здесь необходимо отметить, что (5.5) при любых  $M_1$ ,  $M_2$  допускает «нефизическое» стационарное состояние

$$\varphi_* \approx \frac{M_2}{M_1} \frac{\alpha_1 - 3\alpha_2}{\alpha_1 - 4\alpha_2},$$

которого в действительности нет (§ 2). Поэтому мы будем формально считать величину разности  $\alpha_1 - 4\alpha_2 > 0$  достаточно малой для того, чтобы  $\varphi_*$  не попадала в область  $\{\varphi \sim M_2/M_1\}$ , где осреднение имеет смысл.

ра  $r_0$  задача (5.7), (5.8) имеет либо всегда два решения (рис. 1, а), либо на некотором интервале  $I_0 \in (I_0^-, I_0^+)$  их существует четыре (рис. 1, б). На рис. 2 в координатах

$$\rho = (\sqrt{\pi} I_0 r_0)^{-1}, \quad \omega = \ln(\sqrt{\pi} r_0 / I_0) - 4(\sqrt{\pi} I_0 r_0)^{-1}$$

изображена область значений параметров  $I_0, r_0$ , внутри которой существует четыре стационарных состояния [9]. Она ограничена со всех сторон бифуркационными кривыми.

Поведение интегральных кривых уравнения (5.5) вблизи стационарных состояний позволяет судить об их устойчивости. На рис. 3, 4, 5 приведено схематическое изображение фазовых портретов уравнения (5.5) для трех случаев: ни одного, два и четыре стационарных состояния соответственно. Штриховыми линиями выделены изоклины «нуля», штрихпунктирными — изоклины «бесконечности». Жирной штриховой линией обозначена сепаратриса  $\psi = P_s(\varphi)$ , к которой сходятся все траектории при  $\psi, \varphi \rightarrow +\infty$  (им отвечает режим неограниченного распространения тепловой волны, см. § 4). Нетрудно показать, что

$$P_s(\varphi) \simeq \frac{\gamma_1 + \gamma_2}{\alpha_1 + \alpha_2} \varphi, \quad \varphi \rightarrow +\infty,$$

а тогда из уравнений (5.3), (5.4) следует, что  $\psi(t), \varphi(t) \simeq O(t^{1/2})$  при  $t \rightarrow +\infty$ , что согласуется с выводами теорем 7 и 8.

На рис. 4 и 5 показано, что во всех случаях независимо от того, существует ли два (рис. 4) либо четыре (рис. 5) стационарных состояния, устойчивым является одно и то же первое и в определенном смысле «минимальное» стационарное состояние. На рис. 1 ветвь устойчивых «минимальных» стационарных состояний отмечена штрихами. Напомним, что устойчивость снизу минимального стационарного решения была ранее доказана в § 3 (см. [1]).

## § 6. ЗАКЛЮЧЕНИЕ

1) Как показало проведенное исследование, при лазерном нагреве металлического образца, занимающего полупространство  $z \geq 0$  (при наличии экзотермической реакции на поверхности  $z=0$ ), свойства теплового поля в сильнейшей степени зависят от параметров излучения — интенсивности  $I_0$  и эффективного радиуса  $r_0$  пучка. В плоскости параметров  $(I_0, r_0)$  существует непрерывная кривая («граница устойчивости»), разделяющая плоскость  $(I_0, r_0)$  на три области, различающиеся по числу стационарных состояний (равному нулю — «область неустойчивости», двум и четырем — «область устойчивости»; см. рис. 2).

2) Важным следствием является то, что в «области устойчивости» устойчивым является только «минимальное» стационарное решение, причем это решение может быть найдено методом итераций.

3) Одним из обобщений построенной теории является учет дополнительных внешних факторов, в частности теплопотерь с поверхности вещества за счет контакта с окружающей средой (т. е. введение в граничное условие при  $z=0$  стока, например, в виде  $-\eta T$ ). В этом случае «граница устойчивости» меняется в зависимости от константы теплопотерь  $\eta$ . Можно показать, что по мере возрастания константы  $\eta$  область существования четырех решений сжимается в точку и при  $\eta > \eta_{кр}$  исчезает. Тем самым строится структурно устойчивое семейство стационарных решений краевой задачи (зависящее от трех параметров  $(I_0, r_0, \eta)$ ), бифуркационное множество которого имеет особенность типа  $A_4$  («ласточкин хвост») [10] (одно сечение при  $\eta=0$  приведено на рис. 2).

4) Хотя в области  $I_0 < h(r_0)$  устойчивым является лишь одно стационарное состояние, другие (неустойчивые) состояния (см. рис. 5) также могут проявляться в динамике лазерного нагрева. В частности, мульт-

тистационарность проявляется во флуктуационной динамике системы. Действительно, как показывают расчеты [9], при небольших изменениях параметров излучения ( $I_0, r_0$ ) вблизи «границы устойчивости» вдоль контура в плоскости ( $I_0, r_0$ ), пересекающего область существования четырех стационарных решений (т. е. «петлю» на рис. 2), происходят сильные изменения устойчивого решения: величина температуры  $T$  и характерные пространственные масштабы ее изменения (при  $z=0$ ) могут меняться почти вдвое. Тем самым в реальных экспериментах могут наблюдаться сильные случайные колебания теплового поля, обусловленные флуктуациями параметров излучения — вблизи области четырех стационарных на рис. 2 система работает как усилитель шума.

## Литература

1. Бункин Ф. В., Галактионов В. А., Кириченко Н. А. и др.—Дифференц. уравнения, 1985, т. 21, № 11, с. 1947—1958.
2. Галактионов В. А.—Докл. АН СССР, 1982, т. 264, № 5, с. 1035—1040.
3. Галактионов В. А.—Журн. вычисл. мат. и мат. физ., 1983, т. 23, № 5, с. 1072—1087.
4. Еленин Г. Г., Плохотников К. Э. Об одном способе качественного исследования квазилинейного уравнения теплопроводности с нелинейным источником.— М., 1977.—28 с. (Препринт/ИИМ им. М. В. Келдыша АН СССР, № 106).
5. Еленин Г. Г., Курдюмов С. П., Самарский А. А.—Журн. вычисл. мат. и мат. физ., 1983, т. 23, № 2, с. 380—390.
6. Похожаев С. И.—Докл. АН СССР, 1979, т. 247, № 6, с. 1327—1331.
7. Похожаев С. И.—Дифференц. уравнения, 1980, т. 16, № 1, с. 109—116.
8. Lions P. L. On the existence of positive solutions of semilinear elliptic equations.—SIAM Review, 1982, vol. 24, p. 441—467.
9. Бункин Ф. В., Кириченко Н. А., Лукьянчук Б. С.—Квантовая электроника, 1982, т. 9, № 10, с. 1959—1967.
10. Арнольд В. И., Варченко А. Н., Гуссейн-заде С. М. Особенности дифференцируемых отображений.— М.: Наука, 1982.—304 с.

Институт общей физики  
АН СССР

Поступила в редакцию  
9 июня 1984 г.

УДК 517.9

В. И. ВЛАСОВ, Д. Б. ВОЛКОВ

## ЗАДАЧА ДИРИХЛЕ ДЛЯ УРАВНЕНИЯ ПУАССОНА В УГЛОВОЙ ОБЛАСТИ

Дано решение задачи Дирихле для уравнения Пуассона на плоскости в области, ограниченной закругленным углом; к ней сводятся некоторые стационарные задачи теплопроводности, электростатики, теории упругости.

1. Пусть граница  $\partial G$  области  $G$  (рисунок) на комплексной плоскости  $w = u + iv = re^{i\varphi}$  ( $u, v$  — декартовы, а  $r, \varphi$  — полярные координаты) представляет собой закругленный угол,  $\partial G = \gamma_1 \cup \gamma_2$ , где  $\gamma_1$  — дуга окружности радиуса  $\eta$  с центром в точке  $O_1$ , а  $\gamma_2$  — контур угла,

$$\gamma_1 = \{w : w = O_1 + \eta e^{i\varphi_1}, \varphi_1 \in [-\nu\pi, \nu\pi]\}, \quad O_1 = -\eta / \cos \nu\pi, \quad (1')$$

$$\gamma_2 = \{w : \arg w = \pm \beta\pi/2, |w| \in [R, \infty)\}, \quad \beta = 2\nu + 1, R = \eta \operatorname{tg} \nu\pi. \quad (2)$$

Область  $G$  может быть представлена в виде

$$G = g_1 \cup g_2 \cup \operatorname{int} \Gamma, \quad (3)$$

где  $g_1$  — луночная область,  $g_2$  — кольцевой сектор,

$$g_1 = \{w : |w| < R, \eta < |w - O_1|\}, \quad (4')$$

$$g_2 = \{w : |w| \in (R, \infty), \arg w \in (-\beta\pi/2, \beta\pi/2)\}, \quad (5)$$

а  $\operatorname{int} \Gamma$  — дуга  $\Gamma$  без концевых точек  $B$  и  $C$ ,

$$\Gamma = \{w = Re^{i\varphi} : \varphi \in [-\beta\pi/2, \beta\pi/2]\}, \quad (6)$$

$$B = Re^{i\beta\pi/2}, \quad C = Re^{-i\beta\pi/2}. \quad (7)$$